

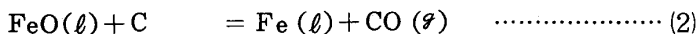
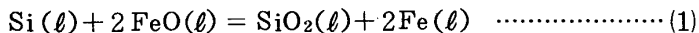
## (29) スラグーメタル反応によるSiの移行メカニズムについての考察

新日本製鐵(株) 製銑研究センター ○内藤誠章, 広畠技術研究部  
廣畠製銑技術室 佐藤裕二, 製銑研究センター 国友和也

1. 緒 言 高炉内のSi移行反応にはレースウェイ部における加珪とスラグーメタル反応によるSi移行反応があるが、ここではスラグ中( $\text{FeO}$ )に着目し、後者のSi移行メカニズムについて考察を行った。

2. 実験 Fig 1にC飽和メタルに( $\text{FeO}$ )=7%含有スラグを接触させた場合<sup>1)</sup>のスラグーメタル反応によるSi移行実験結果を示す。スラグ中( $\text{FeO}$ )濃度が高い間は脱珪反応が進むが( $\text{FeO}$ )濃度が低くなると脱珪から加珪に変化する。脱珪前の初期[Si]値が低いものほど、脱珪から加珪に変る臨界点の[Si]値は低くなる。また、スラグ中( $\text{FeO}$ )濃度については、約0.2%付近で安定している。

### 3. スラグーメタル反応による脱珪および加珪反応について



の反応の $\Delta G^\circ$ 、活量 $a_{\text{Fe}}$ 、 $a_c$ 、 $a_{\text{FeO}}$ については文献2)を、活量 $a_{\text{Si}} = f_{\text{Si}}[\% \text{Si}]$ に関する相互作用助係数 $\theta_{\text{Si}}^{\text{si}}$ 、 $\theta_{\text{Si}}^{\text{c}}$ 、 $\theta_{\text{Si}}^{\text{Mn}}$ については文献2)3)を、 $a_{\text{SiO}_2}$ については文献2)4)を参考とした。1873Kで、スラグ塩基度 $C/S = 1.0 \sim 1.3$ に対する $a_{\text{SiO}_2} = 0.05 \sim 0.2$ に対して、(1)式の[%Si]と $a_{\text{FeO}}$ の平衡関係をFig 2に実線で、またFig 1の実験ならびに徳田ら<sup>5)</sup>のデータをプロットで示す。実験データは脱珪から加珪反応に移行後、スラグ中( $\text{FeO}$ )=0.2%における(1)式の平衡Si値に近づく。スラグ中( $\text{FeO}$ )については、脱珪時には(1)(2)式によって急激に減少するが、(1)式が脱珪から加珪に変ると(1)式による( $\text{FeO}$ )の増加と(2)式による( $\text{FeO}$ )の減少が( $\text{FeO}$ )=0.2%近傍でつり合うことがわかる。 $(\text{FeO})=0.2\%$ というは(2)式の平衡(% $\text{FeO}$ )よりも1桁高いが、この濃度を境にCO気泡の生成状況が異なるとの報告がある<sup>6)</sup>。Siの移行に着目すると、脱珪前の初期[Si]値が低いものほど脱珪から加珪に変る臨界点の[Si]値が低く、しかも加珪反応速度が遅いことから、羽口近傍でのメタル中Si濃度を抑えることは溶銑温度の低下、スラグ塩基度増大に加えて低Si化を達成する前提条件となる。この条件下では出銑間隔の短縮も低Si化への効果が期待できる。

Fig 3に各高炉の実績値とスラグ中( $\text{FeO}$ )=0.2%における平衡[Si]<sub>eq</sub>値との関係を示す。実績[Si]値が上記平衡[Si]値に到達しているデータの多いなかで、N1, N3, O1, O2のように低い例もあり、脱珪から加珪への反応途中で出銑されたことを暗示させる。

文 献 1)佐藤ら:鉄と鋼(1985)S81 2)第3版鉄鋼便覧基礎編(1981)

3)学振19委製鋼反応の推奨平衡値(1984) 4)田村ら:鉄と鋼(1981)、p2635

5)徳田ら:鉄と鋼(1982)S840. 6)荻野ら:鉄と鋼(1979)、p1985

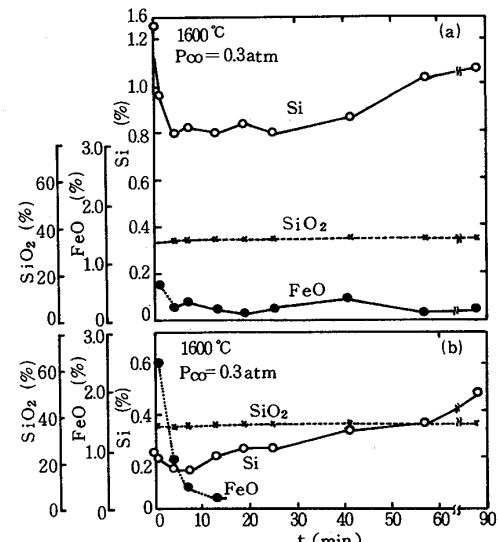


Fig 1. Change of [%Si] content when mixed with (FeO) containing slag

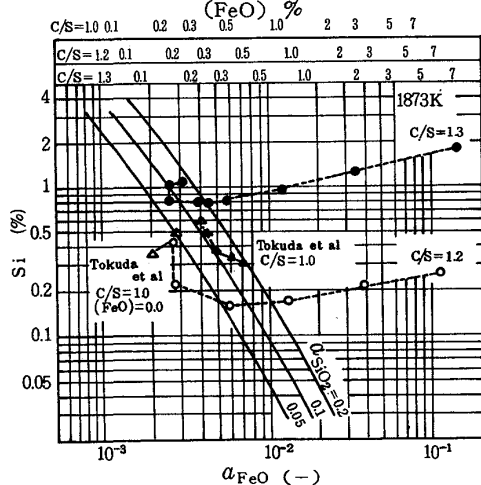


Fig 2 Relation between  $a_{\text{FeO}}$  and [%Si]

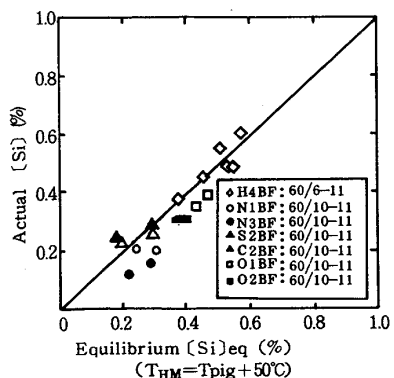


Fig 3. Comparison of actual Si content in pig iron with equilibrium one estimated by Eq.(1).